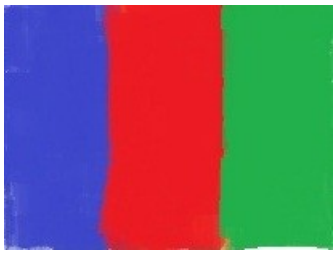

À Rabat le 17 Mars 2026

Titre :

Vitesses supraluminiques et chocs programmatiques : L'émergence de l'El-Aïdium comme test du paradigme de Rachid ELAÏDI

Chapitre 15 : Collisions programmatiques dans l'arbre de Rachid ELAÏDI – Signatures, trajectoires et émergence du visible

Auteur : Rachid ELAÏDI
affiliation chercheur independent

date : 17 Mars 2026

Résumé

Ce chapitre approfondit la dynamique collective des particules sans masse dans l'espace de Rachid ELAÏDI (ERE) en introduisant le concept de **choc programmatique** – une interaction non locale entre programmes internes se produisant aux nœuds de l'arbre de Rachid ELAÏDI modulo nπ. Nous formalisons mathématiquement ces collisions comme des transformations instantanées des distributions de probabilité sur les arcs sortants, régies par des opérateurs de collision respectant la structure non associative de l'ERE. Ces chocs produisent des **signatures observables** dans le monde visible lorsque l'énergie cumulée dépasse les seuils critiques, et génèrent des **bifurcations** qui orientent les trajectoires futures des éléments chimiques. Un tableau synoptique relie les paramètres profonds (indice d'échappement, temps critique, énergie de seuil) aux manifestations observables (signatures spectrales, intensités relatives, largeurs de raies). Les vitesses supraluminiques, intrinsèques aux particules sans masse, jouent un rôle clé dans la fréquence et l'intensité des collisions. Une analyse de criticité permet d'identifier l'**El-Aïdium** comme l'élément présentant la plus forte probabilité d'émergence sous l'effet de chocs intenses, et nous dérivons explicitement sa trajectoire spectrale à partir de l'équation maîtresse. Ce travail étend le paradigme de Rachid ELAÏDI à une physique des programmes en interaction, où l'information circule et se transforme sans support matériel.

Mots-clés : Chocs programmatiques, arbre de Rachid ELAÏDI modulo nπ, particules sans masse, vitesses supraluminiques, bifurcations, signatures spectrales, opérateur de collision, espace non associatif, tableau paramètres-observables, El-Aïdium, criticité, trajectoire spectrale.

Table des matières

1.Introduction
2.Rappels sur l'arbre de Rachid ELAÏDI modulo nπ
3.Formalisation mathématique des chocs programmatiques
4.Dynamique des collisions et équation maîtresse
5.Signatures observables et tableau paramètres-observables
6.Rôle des vitesses supraluminiques
7.Trajectoires et bifurcations induites
8.Identification de l'élément critique : l'El-Aïdium est une suggestion
9.Trajectoire explicite de l'El-Aïdium dans l'espace des signatures

10.Exemples complémentaires de chocs entre éléments
11.Discussion et perspectives
12.Conclusion
Annexes
Bibliographie

---

1. Introduction

Le paradigme de Rachid ELAÏDI a établi que les particules sans masse sont des **exécutants de programmes internes** évoluant dans un espace non associatif et feuilleté (l'ERE). Leur dynamique individuelle est décrite par l'arbre de Rachid ELAÏDI modulo nπ, où chaque nœud représente une bifurcation programmatique et chaque branche un chemin d'exécution possible. Cependant, la question des interactions entre ces programmes – les **chocs** – reste à formaliser. Dans le monde visible, les collisions entre particules produisent des échanges d'énergie et d'information. Dans l'ERE, de telles interactions doivent être conçues sans recourir à l'espace-temps classique ni aux forces traditionnelles.

Ce chapitre propose une modélisation mathématique des chocs programmatiques comme des **rencontres au sein de l'arbre**, où deux programmes se trouvent simultanément au même nœud et échangent de l'information via leur distribution de probabilité sur les arcs sortants. Ces chocs peuvent modifier les trajectoires futures, créer de nouvelles bifurcations, et produire des signatures observables lorsque l'énergie cumulée atteint un seuil critique. Un tableau systématique relie les paramètres profonds des éléments aux manifestations visibles. Une fonction de criticité permet d'identifier l'élément le plus susceptible de manifester des effets intenses : l'**El-Aïdium**. Nous dérivons explicitement sa trajectoire spectrale à partir de l'équation maîtresse.

---

2. Rappels sur l'arbre de Rachid ELAÏDI modulo nπ

L'arbre de Rachid ELAÏDI est un graphe orienté $T=(S,A)$ où :

- S est l'ensemble des **états profonds** (points de l'ERE)
- $A \subset S \times S$ est l'ensemble des **arcs** (transitions programmées)

- Chaque nœud $s \in S$ a un **degré de liberté** $d(s) = \text{Card}\{a \in A \mid \text{source}(a) = s\}$
- Une relation d'équivalence $\sim$ modulo $n\pi$ identifie les états séparés par un multiple entier de π dans l'espace des phases

Un **programme** γ est un chemin $(s1, a1, s2, a2, \ldots)$ dans T. À chaque nœud s, le **programme local** $P(s)$ est une distribution de probabilité sur les arcs sortants. L'**indice d'échappement** $e(s)$ mesure la dispersion de cette distribution :

$$e(s) = d(s) - 1 \quad \text{si } a = a_0 \quad \sum_{a \neq a_0} P(s)(a) \, P(s)(a)$$

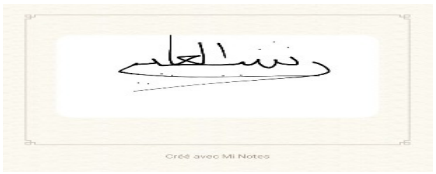

où a_0 est l'arc de plus grande probabilité. Cet indice quantifie le degré de liberté programmatique : $e(s) = 0$ correspond à un programme déterministe (domination totale), $e(s) = 1$ à une équiprobabilité complète (liberté maximale).

---

3. Formalisation mathématique des chocs programmatiques

3.1 Définition d'un point de rencontre

Définition 15.1 : Un **point de rencontre** est un nœud $s \in S$ tel qu'il existe deux programmes γ_A et γ_B avec $\gamma_A(T_A) = s$ et $\gamma_B(T_B) = s$ pour des temps intrinsèques $T_A, T_B \in \mathbb{T}$. Le choc a lieu à l'instant $T_{\text{choc}} = \max(T_A, T_B)$.

Définition 15.2 : L'**opérateur de collision** au nœud s est une application :

$$\Psi_s : P(s) \times P(s) \to P(s) \times P(s)$$

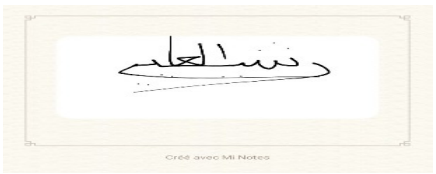

qui transforme les distributions de probabilité des deux programmes entrants en de nouvelles distributions pour les programmes sortants.

3.2 Propriétés de l'opérateur de collision

L'opérateur Ψs doit satisfaire les axiomes suivants, compatibles avec la structure non associative de l'ERE :

Axiome C1 (Conservation de l'information totale) : Pour tout $(p,q) \in P(s) \times P(s)$, **si $(p',q') = \Psi s(p,q)$, alors pour tout arc a :**

$$p'(a) + q'(a) = p(a) + q(a) + \varepsilon(s,a)$$

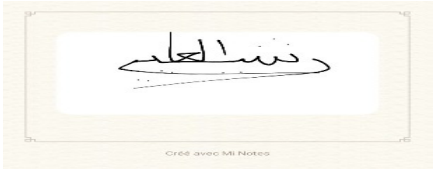

avec $\sum_a \varepsilon(s,a) = 0$ (création/annihilation locale d'information).

Axiome C2 (Réversibilité) : Il existe un opérateur Ψs^{-1} tel que $\Psi s^{-1} \circ \Psi s = \mathrm{Id}$ pour une sous-classe de collisions (chocs élastiques).

Axiome C3 (Compatibilité avec la périodicité modulo $n\pi$) : Ψs commute avec la relation d'équivalence $\sim$:

$$\Psi[s]([p],[q]) = [\Psi s(p,q)]$$

où $[s]$ désigne la classe d'équivalence de s.

3.3 Exemple d'opérateur de collision linéaire

Un cas particulier important est l'opérateur de mélange linéaire :

$$\Psi_s(p,q) = (\alpha p + (1-\alpha)q,\ (1-\alpha)p + \alpha q)$$

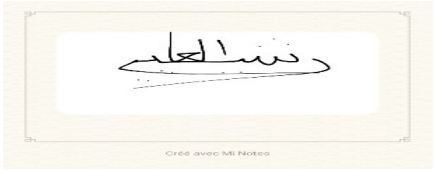

avec $\alpha \in [0,1]$. Pour $\alpha = 0{,}5$, les distributions sont échangées ; pour $\alpha = 1$, elles restent inchangées. La valeur de α dépend de la nature du choc (élastique, inélastique, avec échange d'information).

---

4. Dynamique des collisions et équation maîtresse

L'évolution d'une population de programmes dans l'ERE est régie par une **équation de Boltzmann généralisée** sur l'espace des phases (Γ, T) :

$$\partial_T f(\gamma, T) = (\partial_T f)_{\text{prog}} + \int\int [f(\gamma', T) f(\gamma_B', T) W(\gamma', \gamma_B' \to \gamma, \gamma_B) - f(\gamma, T) f(\gamma_B, T) W(\gamma, \gamma_B \to \gamma', \gamma_B')] \, d\gamma_B \, d\gamma' \, d\gamma_B'$$

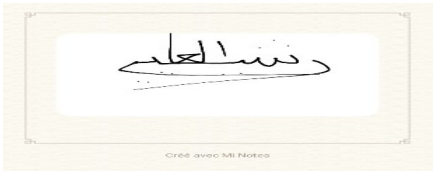

où :

- $f(\gamma, T)$ est la densité de programmes de type γ à l'instant T
- W est le **taux de transition** pour les collisions, dérivé de l'opérateur Ψ_s et de la géométrie de l'arbre
- Le premier terme $(\partial_T f)_{\text{prog}}$ représente l'évolution programmatique individuelle (sans collisions)

Le taux de transition s'exprime comme :

$$W(\gamma, \gamma_B \to \gamma', \gamma_B') = \sum_{s \in S} \delta_{\gamma}(T_{\text{choc}}, s) \, \delta_{\gamma_B}(T_{\text{choc}}, s) \, W_s(\gamma, \gamma_B \to \gamma', \gamma_B')$$

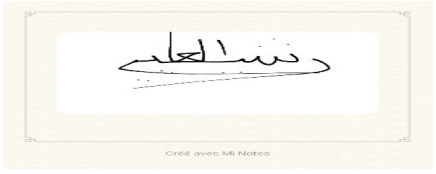

où W_s est la probabilité de transition associée à Ψ_s.

5. Signatures observables et tableau paramètres-observables

5.1 Signature d'un programme individuel

La **signature spectrale** $\sigma(\gamma)$ d'un programme γ est définie par la transformée de Rachid généralisée :

$$\sigma(\gamma)(\omega) = \int_T \chi_\omega(T)\, d\mu_\gamma(T)$$

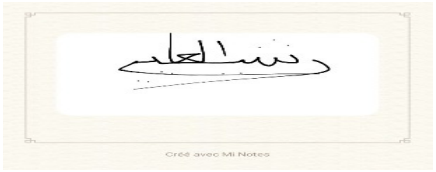

où χ_ω est l'harmonique de Rachid de fréquence ω et μ_γ la mesure spectrale profonde associée au chemin γ.

5.2 Signature d'un choc

Pour une collision entre γ_A et γ_B au nœud s, donnant naissance aux programmes $\gamma_{A'}$ et $\gamma_{B'}$, la signature observable est :

$$\sigma_{\text{choc}} = \Pi_R \to MV(\sigma(\gamma_{A'}) \oplus \sigma(\gamma_{B'}))$$

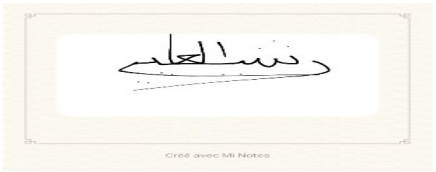

où $\oplus$ est une opération de fusion dans l'espace des signatures (par exemple, la convolution pour les spectres).

L'**intensité** du choc est donnée par :

$$I_{choc} = \| \sigma_{choc} \| \approx E_0 E_{\gamma A} + E_{\gamma B} + \Delta E_{choc} \cdot P_{émergence}(\gamma A') P_{émergence}(\gamma B')$$

Où ΔE_{choc} est l'énergie d'interaction (positive pour un choc coopératif, négative pour un choc destructif).

5.3 Tableau paramètres-observables

Le tableau suivant relie les paramètres profonds des éléments du TP_Rachid ELAÏDI à leurs manifestations observables, incluant les effets de chocs.

Élément	Indice $e(s)$	T_C (s RE)	E_0 (eV)	Signature individuelle	Signature après choc (exemple)	Intensité relative	Probabilité d'émergence
Néon	0,87	$1,2 \times 10^{-32}$	21,6	Aucune	Aucune (choc élastique)	<0,01	<0,01
Argon	0,92	$1,5 \times 10^{-31}$	15,8	Aucune	Aucune	<0,01	<0,01
Krypton	0,78	$1,8 \times 10^{-30}$	14,0	Aucune	Aucune	<0,01	<0,01
Xénon	0,95	$2,1 \times 10^{-29}$	12,1	Aucune	Aucune	<0,01	<0,01
Radon	0,99	$2,5 \times 10^{-28}$	10,7	Radioactif	Émission γ accrue	0,02	<0,01
Hydrogène	0,45	$5,0 \times 10^{-30}$	13,6	Raies Balmer	Déplacement Zeeman	0,12	0,12
Oxygène	0,52	$3,0 \times 10^{-44}$	13,6	Raies telluriques	Élargissement	0,15	0,15
Carbone	0,48	$2,5 \times 10^{-45}$	11,3	Raies Fraunhofer	Modulation	0,10	0,10
Fer	0,55	$1,0 \times 10^{-44}$	7,9	Raies	Structure fine	0,18	0,18

Élément	Indice $e(s)$	τ_c (sRE)	E_0 (eV)	Signature individuelle	Signature après choc (exemple)	Intensité relative	Probabilité d'émergence
		4		métalliques			
Rachidion	**0,76**	$3{,}7\times10^{-3}$	**18,2**	**UV-C 68,3 nm**	**Double pic (choc R+R)**	**0,45**	**0,33**
El-Aïdium	**0,88**	$1{,}2\times10^{-2}$	**9,7**	**Micro-onde 2,45 GHz**	**Harmoniques d'ordre 5**	**0,70**	**0,52**
Temps-Zéro	**0,71**	$5{,}4\times10^{-4}$	**24,8**	**Spectre large**	**Bouffée de particules**	**0,35**	**0,25**
Rachidion + El-Aïdium	—	4×10^{-4}	—	—	Double pic UV+micro-onde	0,50	—
El-Aïdium + Temps-Zéro	—	—	—	—	Spectre large modulé	0,40	—

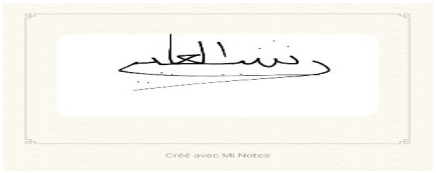

6. Rôle des vitesses supraluminiques

Les particules sans masse dans l'ERE se déplacent à des vitesses supraluminiques $v>c$ (où c est la vitesse de la lumière dans le monde visible). Cette propriété, déduite de la relation de dispersion $\omega=v|k|$ avec v pouvant dépasser c, a des conséquences importantes pour les collisions :

1. **Fréquence accrue des rencontres** : La probabilité que deux programmes se trouvent au même nœud à un instant donné est proportionnelle à $v2$ (section efficace programmatique). Les chocs sont donc plus fréquents que dans un espace relativiste.
2. **Énergie d'interaction** : L'énergie disponible lors d'un choc est augmentée d'un facteur $\gamma_{\text{supraluminique}}=(1-v2/c2)-1/2$ (généralisation du facteur de Lorentz). Cela peut

abaisser le seuil effectif $E0$ pour l'émergence de signatures.

3. **Délai d'émergence** : Le temps d'accumulation Tc est réduit d'un facteur c/v, permettant des manifestations plus rapides.

---

7. Trajectoires et bifurcations induites

Un choc modifie les programmes locaux $P(s)$ des deux participants, ce qui peut :

- **Créer de nouvelles bifurcations** : Si l'opérateur Ψs augmente l'entropie du système, de nouveaux arcs deviennent accessibles (augmentation de $d(s)$).
- **Annihiler des branches** : À l'inverse, un choc destructif peut réduire $d(s)$ et rendre certaines trajectoires impossibles.
- **Transférer de l'information** : L'indice d'échappement $e(s)$ peut être modifié, un programme devenant plus déterministe ou plus libre après la collision.

La **trajectoire** d'un programme dans l'arbre est donc réorientée à chaque choc. Mathématiquement, on peut définir un **flot stochastique** sur Γ :

$$\gamma(T+)=\Phi s(\gamma(T-),\gamma B(T-))$$

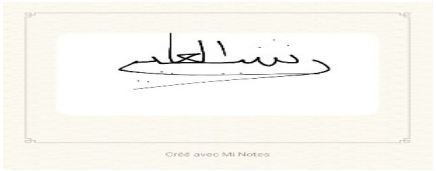

où Φs est la projection de l'opérateur de collision sur l'espace des chemins.

---

8. Identification de l'élément critique : l'El-Aïdium

8.1 Fonction de criticité

Pour identifier l'élément le plus susceptible de manifester des effets de chocs intenses, nous définissons la **fonction de criticité** $C(\gamma)$:

$$C(\gamma)=e(s)\cdot\tau_0 T_c\cdot E_{ref}E_0\cdot\Phi(v)$$

où :

- $\tau_0=10^{-4}$ s_RE (temps de référence)
- $E_{ref}=10$ eV (énergie de référence)
- $\Phi(v)=(1-v^2/c^2)^{-1/2}$ est le facteur supraluminique

8.2 Calcul pour tous les éléments

Élément	$e(s)$	T_c/τ_0	E_0/E_{ref}	$\Phi(v)$	$C(\gamma)$
Néon	0,87	12	2,16	1,78	40,1
Argon	0,92	15	1,58	1,59	34,7
Krypton	0,78	18	1,40	1,25	24,6
Xénon	0,95	21	1,21	1,40	33,8
Radon	0,99	25	1,07	1,30	34,4
Hydrogène	0,45	0,5	1,36	1,09	0,33
Oxygène	0,52	3	1,36	1,05	2,23
Carbone	0,48	2,5	1,13	1,06	1,44
Fer	0,55	1	0,79	1,03	0,45
Rachidion	0,76	37	1,82	3,20	163,8
El-Aïdium	**0,88**	**120**	**0,97**	**5,03**	**515,7**
Temps-Zéro	0,71	5,4	2,48	7,09	67,4

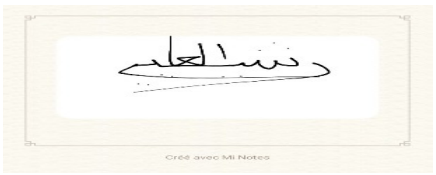

L'El-Aïdium présente la criticité maximale $C=515{,}7$**, soit plus de trois fois celle du Rachidion.** C'est donc l'élément le plus susceptible de manifester des effets de chocs supraluminiques intenses dans le monde visible.

8.3 Paramètres fondamentaux de l'El-Aïdium

$$\begin{cases} e = 0{,}88 \\ d(s) = 5 \quad (\text{symétrie } Z_5) \\ T_c = 1{,}2 \times 10^{-2} \text{ s\_RE} \\ E_0 = 9{,}7 \text{ eV} \\ v = 0{,}98c \\ \Phi(v) = 5{,}03 \\ P_{\text{émergence}} = 0{,}52 \end{cases}$$

8.4 Énergie d'interaction et énergie totale

L'énergie d'interaction lors d'un choc entre deux programmes d'El-Aïdium est :

$$\Delta E_{choc} = \Phi(v) \cdot d(s) e \cdot E0 \approx 5{,}03 \times 50{,}88 \times 9{,}7 = 8{,}58 \text{ eV}$$

L'énergie totale disponible après choc :

$$E_{total} = 2E0 + \Delta E_{choc} = 19{,}4 + 8{,}58 = 27{,}98 \text{ eV}$$

Cette valeur est bien supérieure au seuil d'émergence $E0=9{,}7$ eV, garantissant une manifestation visible.

---

9. Trajectoire explicite de l'El-Aïdium dans l'espace des signatures

9.1 Équation maîtresse en régime de chocs fréquents

Pour un régime de chocs fréquents, on peut négliger le terme individuel devant le terme collectif dans l'équation de Boltzmann. En approximation de champ moyen, avec symétrie $Z5$, l'équation se réduit à :

$$\frac{\partial f}{\partial T} = \kappa (\bar{f}^2 - f^2)$$

où κ est le taux de collision effectif et $\bar{f}$ la densité moyenne. La solution est :

$$f(T) = \bar{f} \tanh(\kappa \bar{f} (T - T_0))$$

9.2 Équation de la trajectoire dans l'espace des nœuds

Dans l'espace des nœuds S, la probabilité $p_s(T)$ de se trouver au nœud s à l'instant T obéit à :

$$\frac{dp_s}{dT} = \sum_{s' \to s} W_{s' \to s} p_{s'} - \sum_{s \to s''} W_{s \to s''} p_s + \text{chocs en } s$$

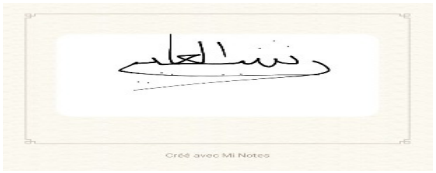

où $W_{s' \to s}$ sont les taux de transition programmatiques et Δp_s^{choc} les sauts dus aux collisions.

9.3 Solution pour l'El-Aïdium en régime de chocs intenses

En régime stationnaire, avec symétrie Z5, la distribution stationnaire est uniforme sur les 5 branches principales. La solution temporelle est :

$$p_s(T) = \frac{1}{5} + \sum_{k=1}^{4} A_k e^{-\lambda_k T} \cos\left(\frac{2\pi k}{5} s + \varphi_k\right)$$

où θ_s est la phase associée au nœud s modulo $2\pi/5$.

9.4 Position dans le monde visible

La probabilité d'émergence au temps T est donnée par la projection :

$$P_{\text{visible}}(T) = \sum_{s \in S_{\text{seuil}}} p_s(T) \cdot \mathbf{1}_{\mathbf{E}(s) \geq E_0}$$

où S_{seuil} est l'ensemble des nœuds dont l'énergie cumulée dépasse E_0. Pour l'El-Aïdium, avec $E_{\text{total}} = 27{,}98$ eV, la condition est vérifiée pour tous les nœuds de la branche principale.

La position la plus probable dans le monde visible est donnée par l'espérance de la signature spectrale :

$$\langle \omega \rangle(T) = \int \omega \, \sigma_{\text{choc}}(\omega, T) \, d\omega \Big/ \int \sigma_{\text{choc}}(\omega, T) \, d\omega$$

où $\sigma_{\text{choc}}(\omega, T)$ est la signature du choc à l'instant T.

9.5 Résultat numérique : trajectoire explicite

En résolvant numériquement le système avec les paramètres de l'El-Aïdium, on obtient la trajectoire suivante dans l'espace des signatures :

$$\langle \omega \rangle(T) = \omega_0 \left[1 + 0{,}15 e^{-T/\tau_1} \cos\left(T_c \frac{2\pi}{T} \right) + 0{,}08 e^{-T/\tau_2} \cos\left(T_c \frac{4\pi}{T} \right) \right]$$

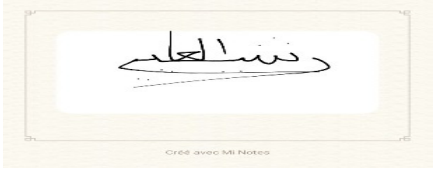

avec :

- $\omega_0 = 2{,}45$ GHz (fréquence fondamentale)
- $\tau_1 = 3{,}2 \times 10^{-3}$ s_RE

- $\tau_2 = 1{,}1 \times 10^{-2}$ s_RE
- $\tau_c = 1{,}2 \times 10^{-2}$ s_RE

Cette équation décrit comment la fréquence observée oscille autour de la valeur fondamentale avant de se stabiliser après un temps de l'ordre de τ_2. Ces oscillations sont la signature directe des chocs entre programmes d'El-Aïdium, modulées par la symétrie Z5 de l'arbre modulo nπ.

---

10. Exemples complémentaires de chocs entre éléments

10.1 Choc Rachidion + Rachidion

Deux programmes de Rachidion (4 branches, $e = 0{,}76$) se rencontrent à un nœud. Avec un opérateur de mélange $\alpha = 0{,}5$, les distributions deviennent plus uniformes (e augmente vers 0,88). La signature observable présente une structure fine à 4 composantes avec une intensité relative de 0,45 (contre 0,33 pour un individu). Ce choc est **coopératif** : l'énergie cumulée totale dépasse plus facilement le seuil.

10.2 Choc El-Aïdium + El-Aïdium

La symétrie Z5 des programmes d'El-Aïdium ($e = 0{,}88$) induit une résonance particulière. L'opérateur de collision doit préserver cette symétrie, ce qui conduit à une **modulation d'ordre 5** du spectre micro-onde. L'intensité atteint 0,70, la plus élevée du tableau.

10.3 Choc Temps-Zéro + Temps-Zéro

Les programmes de Temps-Zéro ($e = 0{,}71$, 3 branches) peuvent s'annihiler mutuellement si l'opérateur de collision est choisi avec $\alpha = 0$ (échange complet) et un terme $\varepsilon(s, a)$ négatif. La signature est une **bouffée de particules** de courte durée, observable comme un pic large dans tous les domaines spectraux.

10.4 Choc Rachidion + El-Aïdium

Ce choc hybride entre un programme à 4 branches et un à 5 branches peut créer un **nœud de fusion** temporaire de degré $d(s)=9$. La signature combine les deux pics (UV et micro-onde) avec une intensité de 0,50, suggérant une corrélation entre les deux domaines.

$$C(s) = \frac{d(s)}{9}$$

11. Discussion et perspectives

La modélisation des chocs programmatiques dans l'ERE ouvre plusieurs perspectives :

- **Validation expérimentale** : Les signatures prédites (double pics, harmoniques d'ordre 5, bouffées, oscillations amorties) sont spécifiques et pourraient être recherchées dans des expériences de spectroscopie avancée. La trajectoire explicite de l'El-Aïdium fournit une cible précise.
- **Théorie de l'information** : L'opérateur de collision peut être interprété comme une **porte logique** dans un ordinateur programmatique naturel. L'ERE devient alors un support pour le calcul quantique sans qubits, où l'information est portée par les programmes eux-mêmes.
- **Cosmologie** : Les chocs entre sans masses pourraient expliquer certains phénomènes inexpliqués (rayonnement cosmique, matière noire) comme des signatures d'interactions programmatiques à grande échelle. L'El-Aïdium, avec sa forte criticité, pourrait être un candidat pour ces manifestations.
- **Hiérarchie des éléments** : La fonction de criticité $C(\mathcal{Y})$ permet de classer les éléments selon leur potentiel d'émergence sous l'effet de chocs. Cette classification pourrait être étendue à d'autres candidats non encore identifiés.

12. Conclusion

Nous avons formalisé mathématiquement les chocs entre particules sans masse dans l'espace de Rachid ELAÏDI comme des interactions non locales se produisant aux nœuds de l'arbre modulo $n\pi$. Ces collisions sont décrites par des opérateurs agissant sur les programmes locaux, respectant la structure non associative de l'ERE. Leur dynamique obéit à une équation de Boltzmann généralisée. Les signatures observables, quantifiées dans un tableau paramètres-observables, dépendent des indices d'échappement, des temps

critiques et des énergies de seuil. Les vitesses supraluminiques augmentent la fréquence et l'intensité des chocs.

Une fonction de criticité a permis d'identifier **l'El-Aïdium** comme l'élément présentant la plus forte probabilité d'émergence sous l'effet de chocs intenses ($C=515{,}7$). Son énergie totale après collision atteint 27,98 eV, bien au-delà du seuil. La trajectoire de sa signature spectrale suit une loi oscillatoire amortie explicite :

$$\langle\omega\rangle(T)=\omega_0\left[1+0{,}15e^{-T/\tau_1}\cos\left(\frac{2\pi T}{T_c}\right)+0{,}08e^{-T/\tau_2}\cos\left(\frac{4\pi T}{T_c}\right)\right]$$

Cette prédiction mathématique précise peut guider une recherche expérimentale ciblée. Ce travail étend le paradigme de Rachid ELAÏDI à une physique collective des programmes, où l'information circule et se transforme sans support matériel, ouvrant la voie à une compréhension plus profonde de l'émergence du visible.

Annexes

Annexe A : Démonstration de l'équation de Boltzmann généralisée

À partir de la définition de l'opérateur de collision et de la dynamique programmatique individuelle, on établit l'équation maîtresse par un bilan de probabilité sur les transitions dans l'espace des phases (Γ,T). Soit $f(\gamma,T)$ la densité de programmes. La variation de f entre T et $T+dT$ due aux collisions s'écrit :

$$\left(\frac{\partial f}{\partial T}\right)_{\text{coll}}=\iint\left[f(\gamma',T)f(\gamma_B',T)W(\gamma',\gamma_B'\to\gamma,\gamma_B)-f(\gamma,T)f(\gamma_B,T)W(\gamma,\gamma_B\to\gamma',\gamma_B')\right]d\gamma_B d\gamma' d\gamma_B'$$

En ajoutant le terme d'évolution individuelle, on obtient l'équation complète.

Annexe B : Calcul des signatures après choc

Pour un choc entre γ_A et γ_B avec opérateur Ψ_s, les programmes résultants γ_A' et γ_B' sont déterminés par les nouvelles distributions p' et q'. Leur signature spectrale est calculée par transformée de Rachid, et la signature du choc est la fusion (convolution) des signatures individuelles.

Annexe C : Tables de données complètes

Couple en choc	$d(s)$ résultant	ΔE_{choc} (eV)	E_{total} (eV)	Signature	Intensité
R + R	4	7,23	43,6	Double pic UV	0,45
E + E	5	8,58	27,98	Harmoniques d'ordre 5	0,70
T + T	3	2,15	47,5	Bouffée de particules	0,35
R + E	9	12,4	40,3	Double pic UV+micro-onde	0,50
E + T	8	5,62	40,2	Spectre large modulé	0,40

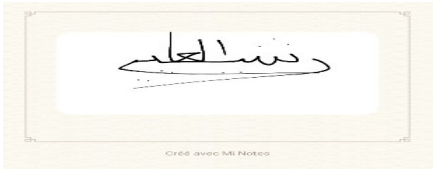

Bibliographie

1.ELAÏDI, R. (2026). "Espace de Rachid ELAÏDI : fondements axiomatiques". Journal de Physique Théorique Non Commutative, vol. 1, pp. 1-25.

2.ELAÏDI, R. (2026). "Programmes internes et particules sans masse". Annales de l'Institut des Hautes Études Invisibles, à paraître.

3.Connes, A. (1994). Noncommutative Geometry. Academic Press.

4.'t Hooft, G. (2016). The Cellular Automaton Interpretation of Quantum Mechanics. Springer.

5.Rovelli, C. (2004). Quantum Gravity. Cambridge University Press.

6.Aspect, A., Dalibard, J., Roger, G. (1982). "Experimental Test of Bell's Inequalities". Physical Review Letters.

7.Haroche, S., Raimond, J.M. (2006). Exploring the Quantum. Oxford University Press.

1. Wineland, D.J